УДК 624.012:53.09

DOI: https://doi.org/10.18664/1994-7852.165.2016.87762

ВЕРИФИКАЦИЯ РЕЗУЛЬТАТОВ ЭКСПЕРИМЕНТОВ ФРАГМЕНТОВ КОКСОВЫХ БАТАРЕЙ ЧИСЛЕННЫМ МОДЕЛИРОВАНИЕМ В НЕЛИНЕЙНОЙ ПОСТАНОВКЕ

Д-р техн. наук С. Л. Фомин, А. М. Кравченко

ВЕРИФІКАЦІЯ РЕЗУЛЬТАТІВ ЕКСПЕРИМЕНТІВ ФРАГМЕНТІВ КОКСОВИХ БАТАРЕЙ ЧИСЕЛЬНИМ МОДЕЛЮВАННЯМ У НЕЛІНІЙНІЙ ПОСТАНОВЦІ

Д-р техн. наук С. Л. Фомін, О. М. Кравченко

VERIFICATION OF THE RESULTS OF EXPERIMENTS FRAGMENTS COKE BATTERIES NUMERICAL MODELING IN NONLINEAR STATEMENT

Dr. Sciences S. Fomin, A. Kravchenko

Проведена аппроксимация экспериментального температурного поля по всем конечным элементам моделей исследуемых фрагментов коксовых батарей с боковым подводом отопительного газа, по результатам которой реализовано температурное воздействие при исследовании напряжённо-деформированного состояния численными методами в нелинейной постановке. Выявленные разрушения показали соответствие полученным в опытах, что доказывает достоверность разработанной методики.

Ключевые слова: фундаменты коксовых батарей, аппроксимация температурного поля по замеренным температурам в отдельных точках, моделирование напряжённо-деформированного состояния методом конечных элементов в нелинейной постановке.

Проведена апроксимація експериментального температурного поля по всіх скінчених елементах моделей досліджуваних фрагментів коксових батарей з бічним підведенням опалювального газу, за результатами якої реалізовано температурний вплив при дослідженні напружено-деформованого стану чисельними методами в нелінійній постановці. Виявлені руйнування показали відповідність отриманим в дослідах, що доводить достовірність розробленої методики.

Ключові слова: фундаменти коксових батарей, апроксимація температурного поля по заміряних температурах в окремих точках, моделювання напружено-деформованого стану методом скінчених елементів у нелінійній постановці.

Approximation of experimental temperature field was done for all finite element models of the studied fragments of coke oven batteries with gun flue inlet of heating gas. Its results were used to reveal temperature impact in the study of stress-strain state by numerical methods in nonlinear statement. The found destructions showed correspondence to the destructions received during experiments which proves the accuracy of the developed method.

Keywords: foundations of coke oven batteries, approximation of temperature field measured at discrete points, modeling of stress-strain state of the finite elements method in nonlinear statement.

Введение. Актуальность научных разработок по проблеме обусловлена необходимостью совершенствования

конструктивных решений фундаментов коксовых батарей с боковым подводом отопительного газа. В работе [1] приведены

результаты экспериментального исследования фрагментов монолитных железобетонных фундаментов коксовых батарей с боковым подводом отопительного газа при статической нагрузке и нагревании.

Исследования выполнены на новой установке ДЛЯ проведения огневых испытаний [2], опытные образцы, фрагменты фундамента, моделирующие выполнены натуральную величину. Получены работе новые сведения железобетонных конструкций, что усовершенствовать позволило характер армирования, доказать целесообразность конструктивных решений фундаментов из жаростойкого бетона без футеровки боровов.

В данном исследовании проведена верификация результатов этих исследований на основе детальной обработки полученных температурных полей применения нелинейных численных моделей при анализе напряжённодеформированного состояния фрагментов.

Анализ последних исследований и публикаций. Анализ переноса тепла в фундаментах коксовых батарей проведён в работе [3], нелинейная модель вводавывода для коксовой батареи рассмотрена в работе расчёт потерь [4], тепла фундаментной плиты при неравномерных профилях температурных внутренней температуры – в работе [5], расчёту потери тепла в плите с неоднородными внутри профилями температурами воздуха посвящена работа прочности [6]. жаростойкого бетона на сжатие при нагреве, кубиковой И призменной прочности бетона при повышенных температурах – работы [7, 8].

В актуализированных нормативных документах [9-14] приведены требования, принципы, правила расчёта и проектиробетонных железобетонных И конструкций, предназначенных для работы условиях повышенных И высоких температур. В работе [14] рассмотрены температурные конструкциях поля фундаментов коксовых батарей, в работе [15] – проблемы, опыт, возможные решения и рекомендации, компьютерные модели железобетонных конструкций, в работе [16] – экспериментальная модель фрагмента коксовых батарей.

Определение цели задачи исследования. Целью экспериментальных исследований ставилась верификация результатов экспериментальных исследований на основе детальной обработки полученных температурных полей применения нелинейных численных моделей анализе напряжённопри деформированного состояния фрагментов.

Задачами являлись:

- разработка методики аппроксимации распределения температуры в экспериментальной модели фрагмента фундамента коксовых батарей;
- определение двумерных температурных полей в элементах образцов;
- выявление влияния температурных моментов на перераспределение усилий;
- определение характера образования разрушения в процессе нагружения и нагревания;
- определение особенностей напряжённо-деформированного состояния при наличии и отсутствии футеровки боровов.

Основная часть исследования. Для решения поставленных задач построена расчётная геометрическая модель прямоугольных элементов, которая будет использована аппроксимации ДЛЯ температурного нелинейного поля И напряжённочисленного анализа деформированного состояния фрагментов коксовых батарей при статической нагрузке и температурном воздействии.

Задача в первой части состоит в восстановлении с определённой мерой близости значений температуры во всех элементах модели по экспериментальным значениям в отдельных сечениях, которая называется аппроксимацией (сглаживанием). Расчётная модель представлена на рис. 1.

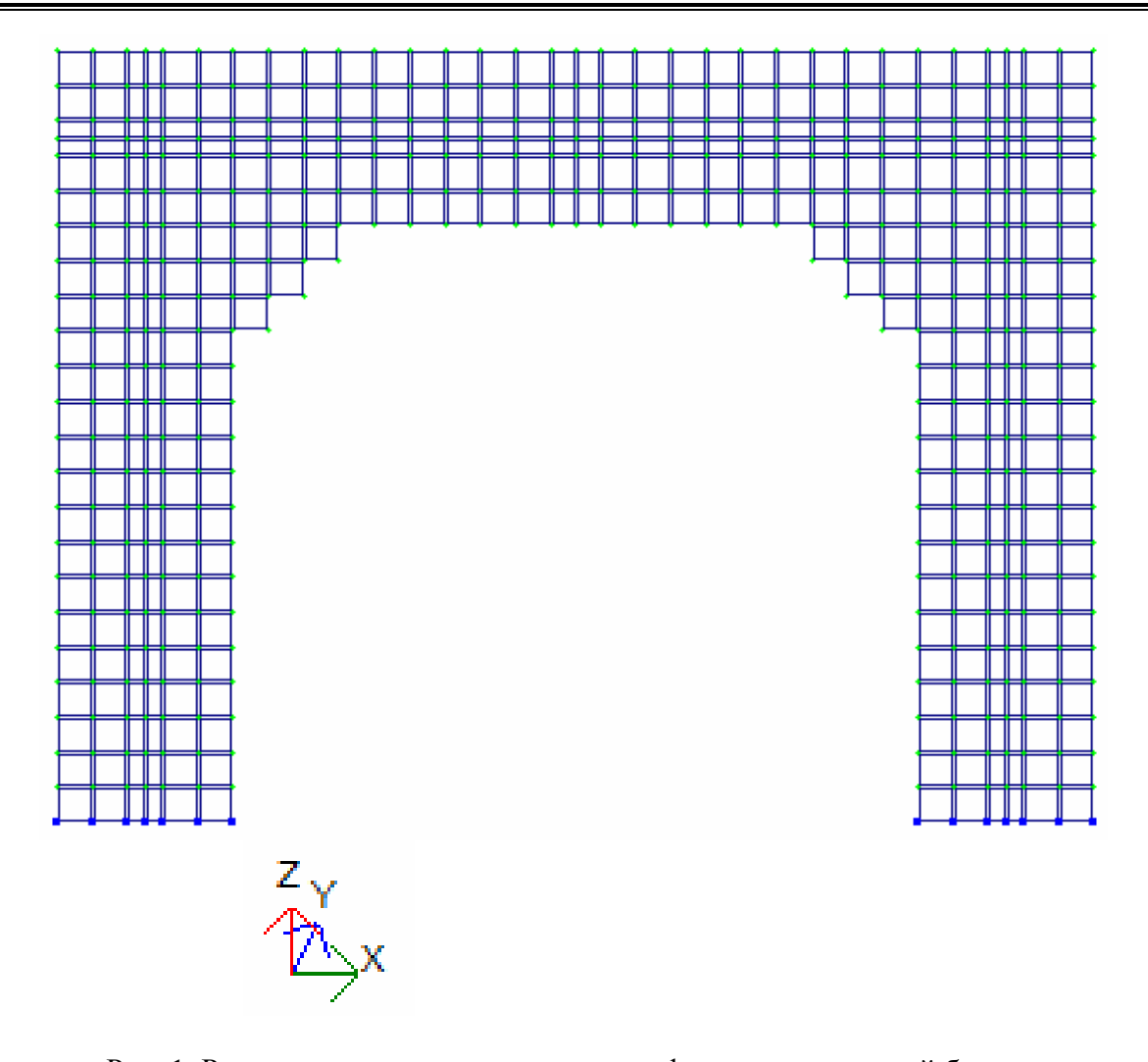


Рис. 1. Расчётная геометрическая модель фрагмента коксовой батареи

Высота модели составляет 2200 мм, ширина — 1940 мм, ширина стоек — 500 мм, высота ригеля — 500 мм. Размеры квадратных элементов 10x10 см и 5x5 см, прямоугольных 5x10 см.

Термопары в опытных образцах заложены в двух сечениях стоек на расстоянии от низа 700 мм и 1430 мм, в двух сечениях по диагонали верхних углов и в сечении посредине ригеля (рис. 2).

Проведение обработки результатов испытания образцов-фрагментов фундаментов коксовых батарей. Несмотря на большое количество термопар (45 шт.), для корректного анализа этого недостаточно, поскольку при расчёте

напряжений и деформаций необходимо задать температуру в каждый элемент. Аппроксимация проводилась следующим образом. В первом сечении левой стойки, расположенной на расстоянии 70 мм, линии тренда подбиралась методом зависимость температуры от X, с началом координат на левой грани колонны, используя табличный процессор Excel, которая с максимальной степенью близости приближается к опытной зависимости и оценивается коэффициентом детерминации \mathbb{R}^2 .

Значения опытных температур в первой стойке приведены в табл. 1.

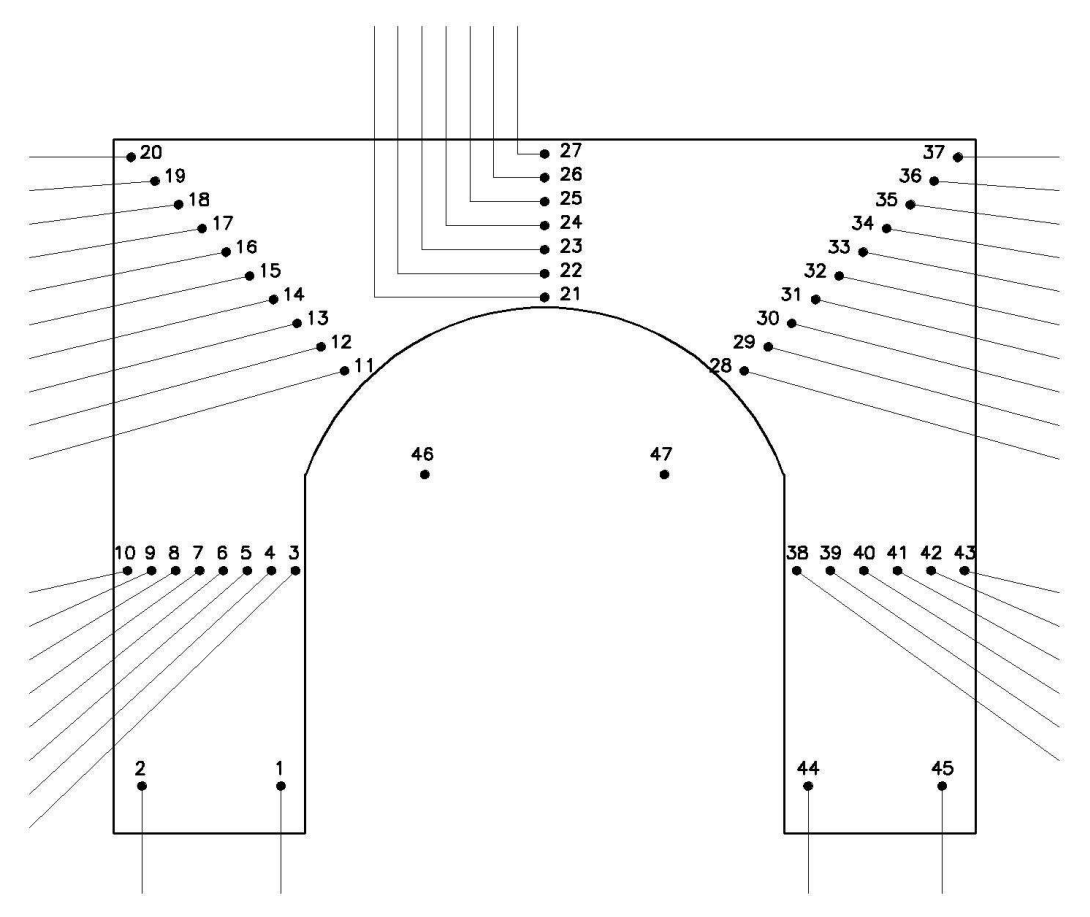


Рис. 2. Расположение термопар на фрагменте фундамента

Для первого сечения (№1-2 термопар) получим формулу

$$T=49,16X+23,15$$
 °C, $R^2=1$. (1)

По этой формуле определяем средние температуры в шести столбцах первого сечения:

| Х, м | 0.05 | 0.15 | 0.225 | 0.25 | 0.35 | 0.45 |
|--------------|--------|--------|--------|-------|--------|--------|
| T,°C | 25.608 | 30.524 | 34.211 | 35.44 | 40.356 | 45.272 |
| Z , м | 0.7 | 0.7 | 0.7 | 0.7 | 0.7 | 0.7 |

Для второго сечения при Z=0,75 м (№3-10) формула имеет вид

$$T=2005 \cdot X^2 -387 \cdot X + 99,79 \, ^{\circ}C, \qquad R^2 = 0.994.$$
 (2)

По этой формуле определяем средние температуры в шести столбцах второго сечения:

| Х, м | 0.05 | 0.15 | 0.225 | 0.25 | 0.35 | 0.45 |
|--------------|---------|---------|----------|----------|----------|----------|
| T, °C | 85.4525 | 86.8525 | 114.2181 | 128.3525 | 209.9525 | 331.6525 |
| Z , м | 0.75 | 0.75 | 0.75 | 0.75 | 0.75 | 0.75 |

Таблица 1 Значения опытных температур в первой стойке

| Z , м | 0.07 | 0.07 | 0.75 | 0.75 | 0.75 | 0.75 | 0.75 | 0.75 | 0.75 | 0.75 |
|--------------|-------|-------|-------|-------|-------|-------|-------|-------|-------|-------|
| Х, м | 0.430 | 0.070 | 0.040 | 0.100 | 0.150 | 0.200 | 0.265 | 0.325 | 0.380 | 0.440 |
| T,°C | 44.3 | 26.6 | 80.4 | 86 | 105.3 | 105.3 | 127.2 | 182.6 | 243.8 | 320.5 |
| №№ Τπ | 1 | 2 | 10 | 9 | 8 | 7 | 6 | 5 | 4 | 3 |
| Ζ, м | 2.095 | 2.024 | 1.953 | 1.883 | 1.812 | 1.741 | 1.677 | 1.589 | 1.540 | 1.497 |
| Х, м | 0.155 | 0.200 | 0.297 | 0.367 | 0.438 | 0.509 | 0.573 | 0.661 | 0.710 | 0.753 |
| T, °C | 58.8 | 71.7 | 129.7 | 96.3 | 104.5 | 112.4 | 113.7 | 176.8 | 220 | 221.9 |
| №№ Тп | 20 | 19 | 18 | 17 | 16 | 15 | 14 | 13 | 12 | 11 |

В диагональном сечении температуры зависят от X и Z. По оси X имеем формулу

$$T=446.8 \cdot X^2 -109.9 \cdot X + 67.53 \, ^{\circ}C, \qquad R^2=0.98.$$
 (3)

По этой формуле определяем средние температуры в ячейках шести столбцов диагонального сечения:

| Хм | 0.05 | 0.15 | 0.225 | 0.25 | 0.35 | 0.45 |
|--------------|------|--------|----------|-------|--------|---------|
| T, °C | 61 | 61.098 | 65.42175 | 67.98 | 83.798 | 108.552 |
| Z , м | 2.1 | 2 | 1.95 | 1.9 | 1.8 | 1.7 |

Таким образом, для каждого столбца первой стойки получены средние температуры в трёх точках по высоте. По этим значениям тем же методом находим эмпирические формулы распределения температуры вдоль оси Z.

Для первого столбца температура распределяется по следующей зависимости:

$$T=30.41 \cdot Z^3 - 136.8 \cdot Z^2 + 170.8 \cdot Z + 23.9 \text{ °C}, \qquad R^2=1,$$
 (4)

по которой вычисляем все значения температуры по вертикали.

Для второго столбца

$$T=31,69\cdot Z^3-140,3\cdot Z^2+169,9\cdot Z+28,81 \text{ °C}, \qquad R^2=1.$$
 (5)

Для третьего столбца

$$T=55,91\cdot Z^3-233,4\cdot Z^2+260\cdot Z+31,62$$
 °C, $R^2=1$. (6)

Для четвёртого столбца

$$T=79,1\cdot Z^3-309,8\cdot Z^2+321,9Z+32,21 \,^{\circ}C, \qquad R^2=1.$$
 (7)

Для пятого столбца

$$T=126,2\cdot Z^3-526\cdot Z^2+526\cdot Z+34,8 \text{ °C}, \qquad R^2=1.$$
 (8)

Для шестого столбца

$$T=239,2\cdot Z^3-964,3\cdot Z^2+991,2\cdot Z+35,48 \,^{\circ}C, R^2=1.$$
 (9)

Аналогичные процедуры применяются для аппроксимации температур в ригеле.

На рис. 3 показано температурное поле во фрагменте № 1 коксовой батареи с боковым подводом газа и футеровкой шамотной кладкой.

| 61 | 61 | 69 | 83 | 76 | 96 | 98 | 100 | 102 | 104 | 105 | 106 | 107 | 108 | 108 | 108 |
|----|----|-----|-------|------|-----|-----|-----|-----|-----|-----|-----|-----|-----|-----|-----|
| 61 | 60 | 66 | 74 | 70 | 80 | 91 | 101 | 109 | 117 | 124 | 129 | 133 | 136 | 138 | 139 |
| 62 | 61 | 65 | 69.61 | 70.4 | 74 | 94 | 112 | 128 | 141 | 153 | 163 | 170 | 176 | 179 | 181 |
| 62 | 62 | 66 | 68 | 72 | 75 | 100 | 121 | 141 | 157 | 172 | 184 | 193 | 200 | 204 | 205 |
| 63 | 62 | 66 | 68 | 75 | 78 | 107 | 133 | 156 | 176 | 193 | 207 | 218 | 226 | 231 | 233 |
| 65 | 65 | 69 | 69 | 84 | 90 | 129 | 163 | 194 | 220 | 243 | 261 | 276 | 287 | 293 | 296 |
| 68 | 68 | 74 | 73 | 95 | 109 | 210 | 200 | 220 | | | | | | | |
| 72 | 71 | 79 | 78 | 109 | 133 | 275 | 280 | | _ | | | | | | |
| 75 | 75 | 85 | 85 | 125 | 160 | 302 | | | | | | | | | |
| 78 | 77 | 91 | 93 | 141 | 189 | | | | | | | | | | |
| 82 | 82 | 98 | 101 | 158 | 220 | | | | | | | | | | |
| 84 | 85 | 104 | 109 | 173 | 250 | | | | | | | | | | |
| 87 | 88 | 110 | 117 | 188 | 277 | | | | | | | | | | |
| 88 | 90 | 114 | 123 | 200 | 302 | | | | | | | | | | |
| 89 | 91 | 117 | 129 | 209 | 321 | | | | | | | | | | |
| 89 | 91 | 119 | 132 | 215 | 334 | | | | | | | | | | |
| 87 | 90 | 118 | 133 | 216 | 339 | | | | | | | | | | |
| 84 | 87 | 116 | 131 | 212 | 335 | | | | | | | | | | |
| 79 | 83 | 110 | 126 | 202 | 320 | | | | | | | | | | |
| 72 | 76 | 102 | 116 | 185 | 293 | | | | | | | | | | |
| 64 | 68 | 90 | 103 | 160 | 256 | | | | | | | | | | |
| 53 | 57 | 75 | 85 | 128 | 197 | | | | | | | | | | |
| 40 | 44 | 55 | 62 | 86 | 125 | | | | | | | | | | |

футеровка бетон

Рис. 3. Температурное поле во фрагменте № 1 коксовой батареи с боковым подводом газа и футеровкой шамотной кладкой

На рис. 4 представлен общий вид расчетной модели фрагмента №1 железобетонного фундамента с футеровкой из шамотной кладки.

По разработанной методике проведено численное исследование напряженно-деформированного состояния фрагмента фундамента коксовых батарей с

боковым подводом отопительная газа в нелинейной постановке на ПК Лира с целью верификации результатов экспериментов.

Расчетная модель плиты собрана из физически нелинейных четырехугольных конечных элементов плоской задачи КЭ230 (балка-стенка).

Стойки представлены 6 столбцами: трех бетонных (первый шириной 10 см, второй 10 см, третий 5 см) и трех из футеровки шамотной кладкой (четвёртый 5 см, пятый и шестой по 10 см). По такой же схеме построен ригель (рис. 4).

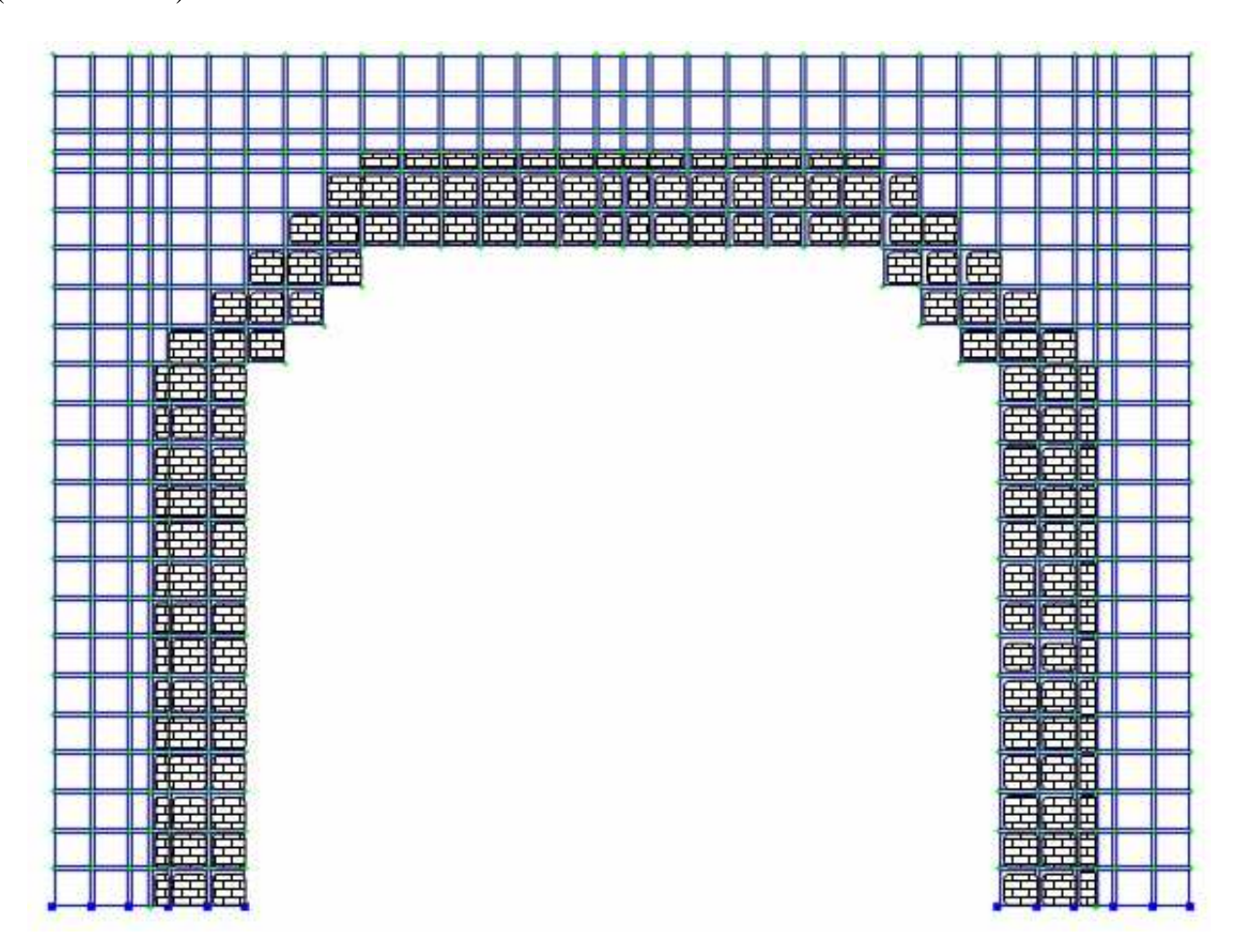


Рис. 4. Расчетная модель фрагмента №1 железобетонного фундамента с футеровкой из шамотной кладки

Характеристики нелинейности для КЭ230 основного материала - бетона класса С25/30 по прочности на сжатие, класса 7 (700 °C) по предельно допустимой температуре применения следующие. Закон нелинейного деформирования принят по экспоненциальной зависимости 11 с учётом влияния температуры нагрева на

прочностные и деформационные характеристики путём введения понижающих коэффициентов условия работы на модуль упругости, прочность и предельные относительные деформации бетона. Закон нелинейного деформирования футеровки принят по 13 зависимости – трёхлинейный закон (рис. 5).

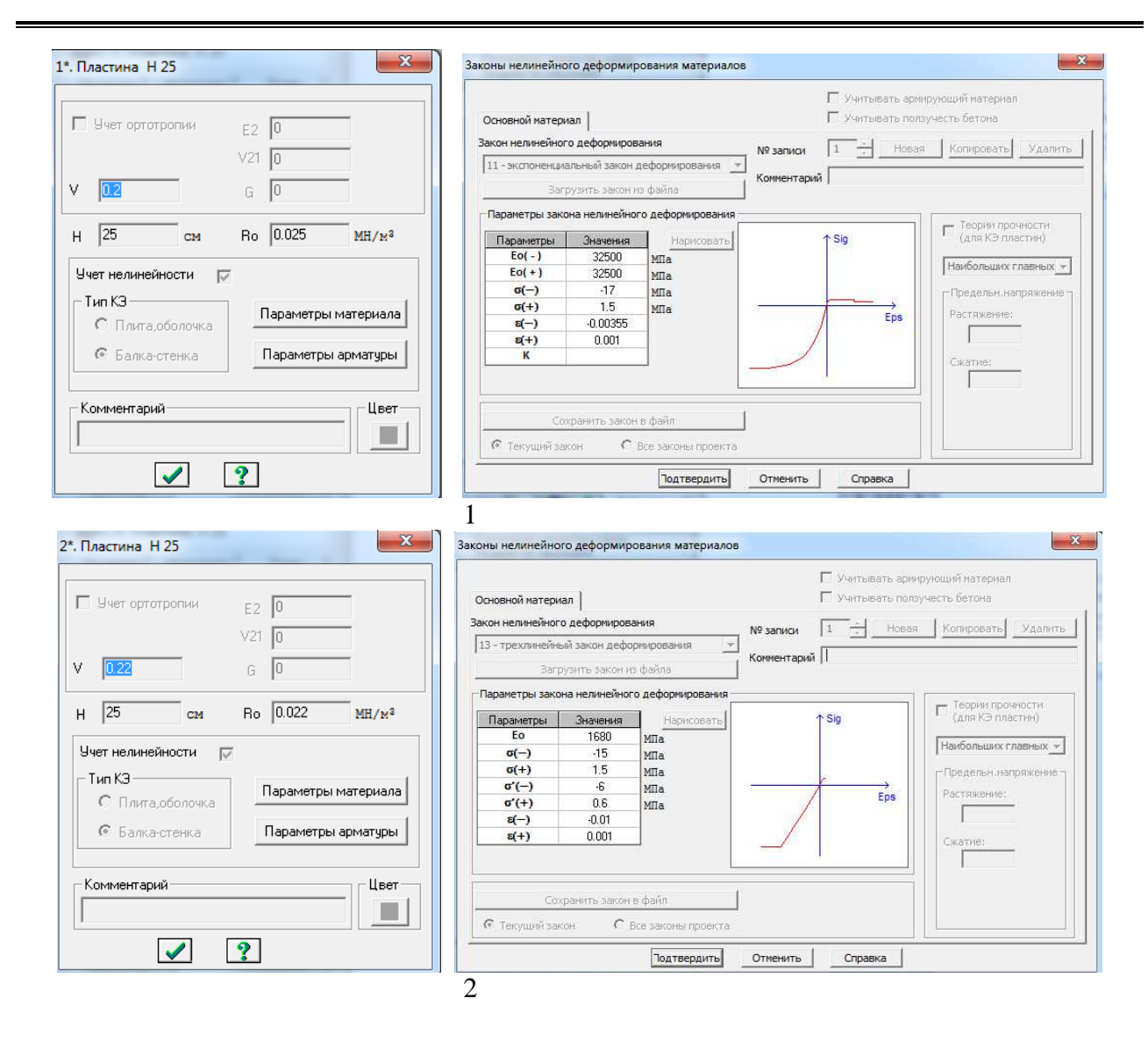


Рис. 5. Законы нелинейного деформирования материалов: 1 – бетонная зона; 2 – зона футеровки

Задание связей. Во всех нижних узлах стоек наложен запрет перемещений по Z и X.

Задание жесткостных параметров элементов. Для бетона — 1^* . Пластина H25: E=32500 МПа, v=0.2, $R_0=0.025$ Мн/м³, H=25 см. Параметры материалов: $E_0(-)=32500$ МПа, $E_0(+)=32500$ МПа, $\sigma(-)=-17$ МПа, $\sigma(+)=1.5$ МПа, $\epsilon(-)=-0.00355$, $\epsilon(+)=0.001$.

Для футеровки — **2*. Пластина H25:** $E=1680 \text{ M}\Pi a$, v=0.22, $R0=0,022 \text{ MH/M}^3$, H=25 см. Параметры материалов: $E_0(-)=1680 \text{ M}\Pi a$, $E_0(+)=1680 \text{ M}\Pi a$,

σ(-)=-15 MΠa, σ(+)=1,5 MΠa, σ'(-)=-6 ΜΠa, σ'(+)=0,6 ΜΠa, ε(-)=-0,01, ε(+)=0,001.

Задание нагрузок. Загружение 1. Собственный зоне вес (B бетона $R_0=0.025 \text{ MH/M}^3$, в зоне футеровки $R_0 = 0.022 \text{ MH/m}^3$). Для этого отмечаем элементы зоны бетона, устанавливаем как текущий тип 1*. Пластина Н25 и задаём собственный вес, добавляя его только на выделенные элементы. Аналогично задаём собственный вес в зоне футеровки с установкой как текущий тип 2*. Пластина H25.

Загружение 2. Равномерно распределённая нагрузка давления otкладки КБ \mathbf{q} =19,7 т/м², нагрузка на 1 пог. м при ширине фрагмента 0,25 м составляет **q** x0,25=4,925 т/м или 0,04925 т/см. Для реализации этой загрузки в эксперименте поверхности верхней фрагмента на расставлялись домкрата распределительными траверсами c расстоянием 60 см, между траверсами расстояние 28,5 см, и прикладывалась нагрузка в 6 точках путём закачивания масла в домкраты с помощью насосной станции. Общие усилия определялись по манометру насосной станции, максимальное значение которой $P=0.04925x294=14.4795\ T$ (т. е. для каждой точки $F=2.41\ T$).

При расчёте второго загружения удобнее использовать нагрузку на 1 пог. м 4,925 т/м или 0,04925 т/см (табл. 2).

Загружение 3. Температурное воздействие. Температуры задавались в каждый конечный элемент на основании результатов аппроксимации опытных данных (рис. 3).

Таблица 2 Значения сил в узлах верхней поверхности фрагмента № 1

| Узел | 24 | 48 | 72 | 96 | 120 | 144 | 168 | |
|-------|------------|-----------|------------|-----------|------------|----------|-----------|----------|
| P, MH | 0.0024625 | 0.004925 | 0.00369375 | 0.0024625 | 0.00369375 | 0.004925 | 0.004925 | |
| Узел | 178 | 187 | 195 | 202 | 208 | 215 | 223 | 230 |
| P, MH | 0.004925 | 0.004925 | 0.004925 | 0.004925 | 0.004925 | 0.004925 | 0.004925 | 0.004925 |
| Узел | 237 | 244 | 251 | | | | | |
| P, MH | 0.00418625 | 0.0034475 | 0.00418625 | | | | | |
| Узел | 258 | 265 | 272 | 279 | 286 | 294 | 303 | 313 |
| P, MH | 0.004925 | 0.004925 | 0.004925 | 0.004925 | 0.004925 | 0.004925 | 0.004925 | 0.004925 |
| Узел | 337 | 361 | 385 | 409 | 433 | 457 | 481 | |
| P, MH | 0.004925 | 0.004925 | 0.00369375 | 0.0024625 | 0.00369375 | 0.004925 | 0.0024625 | |

Моделирование нелинейных загружений произведено последовательности формировании локального загружения 1 (собственный вес), локального загружения 2 (нагрузки от веса кладки) и локального загружения 3 (температурных воздействий) выбором простого шагового метода расчёта при числе максимальных итераций 300 и 10 равномерных шагов расчёта, учёта предыстории загружений и вывода на печать перемещений и усилий каждого шага.

Результаты расчёта представлены серией скриншотов (картин разрушения) и изополей перемещений и напряжений.

При локальном загружении 1 собственным весом разрушений не произошло. При втором локальном загружении от собственного веса и веса кладки на 6 шаге возникли трещины в бетоне конечных элементов посредине ригеля на стыке с футеровкой (рис. 6).

На десятом шаге второго локального загружения трещинообразование распространилось ещё на 6 элементов и периферийные элементы, на стойках также получили трещины (рис. 7), что и подтверждено экспериментом.

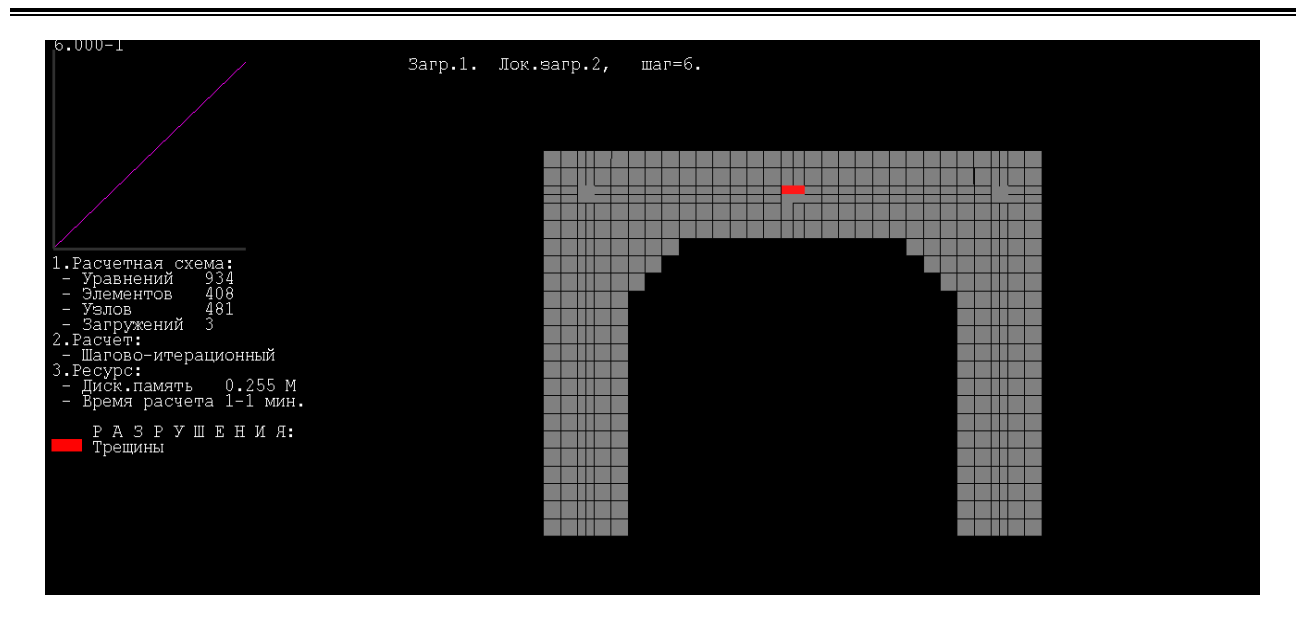


Рис. 6. Картина разрушения на 6 шаге локального загружения 2 от собственного веса и веса кладки

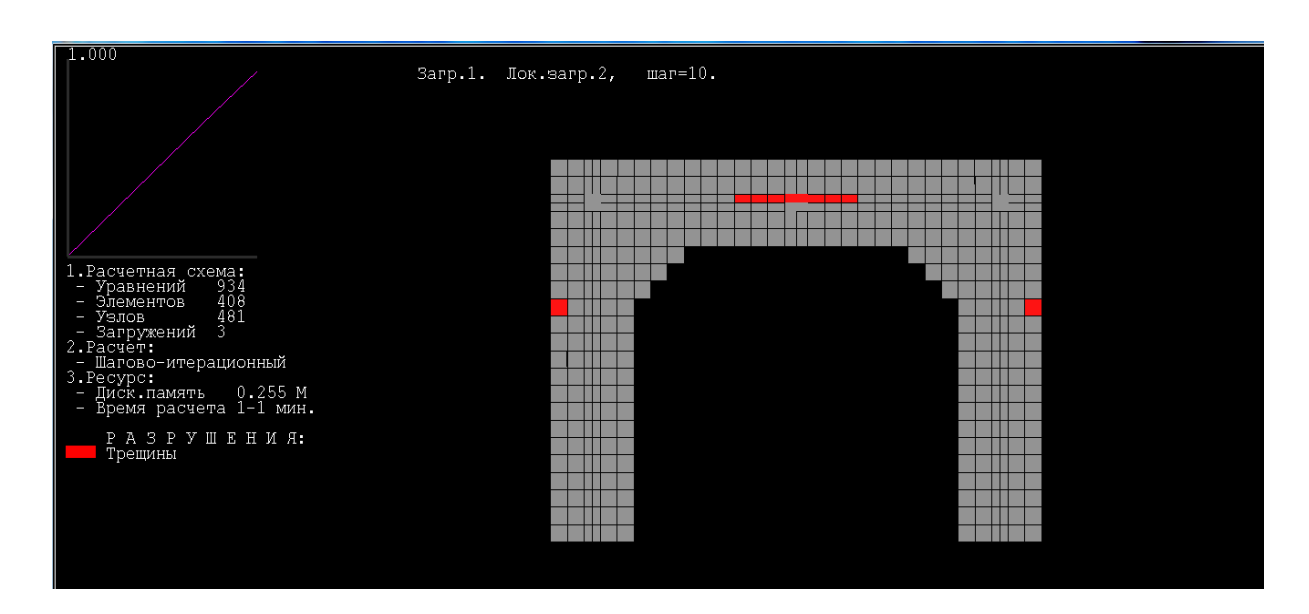


Рис. 7. Картина разрушения на 10 шаге локального загружения 2 от собственного веса и от веса кладки

При третьем локальном загружении (воздействие температуры) картина разрушений сменилась на противоположную. Разрушения в виде растяжений и трещин появились в верхней части ригеля, в наружных зонах бетона стоек и в местах стыка с основанием (рис. 8).

Линейный расчёт показал, что при приложении загрузки происходит прогиб

ригеля (рис. 9) и возникают большие растягивающие напряжения в средней зоне ригеля, которые привели к трещинообразованию (рис. 10).

При нагреве происходит выгиб ригеля (рис. 11) и возникают большие напряжения в верхних волокнах бетона ригеля (рис. 12).

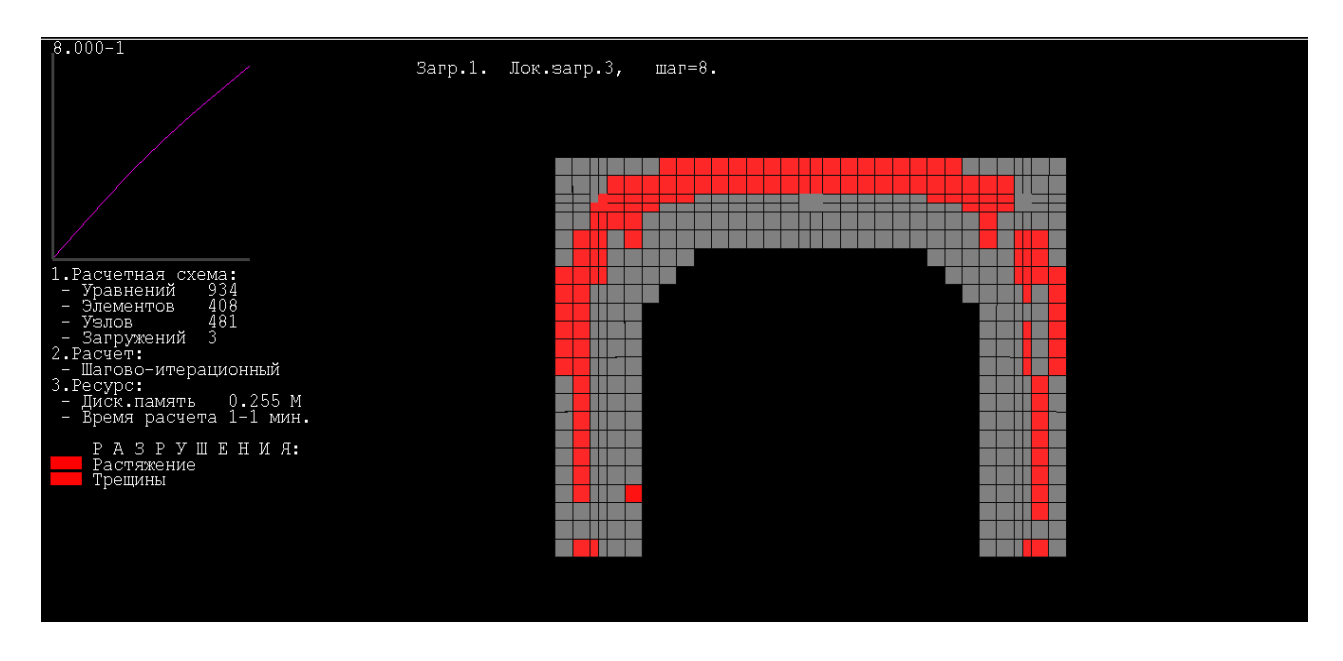


Рис. 8. Картина разрушения на 10 шаге локального загружения 3 от нагрузки и температурного воздействия

Линейный расчёт фрагмента №1 с футеровкой из шамотной кладки

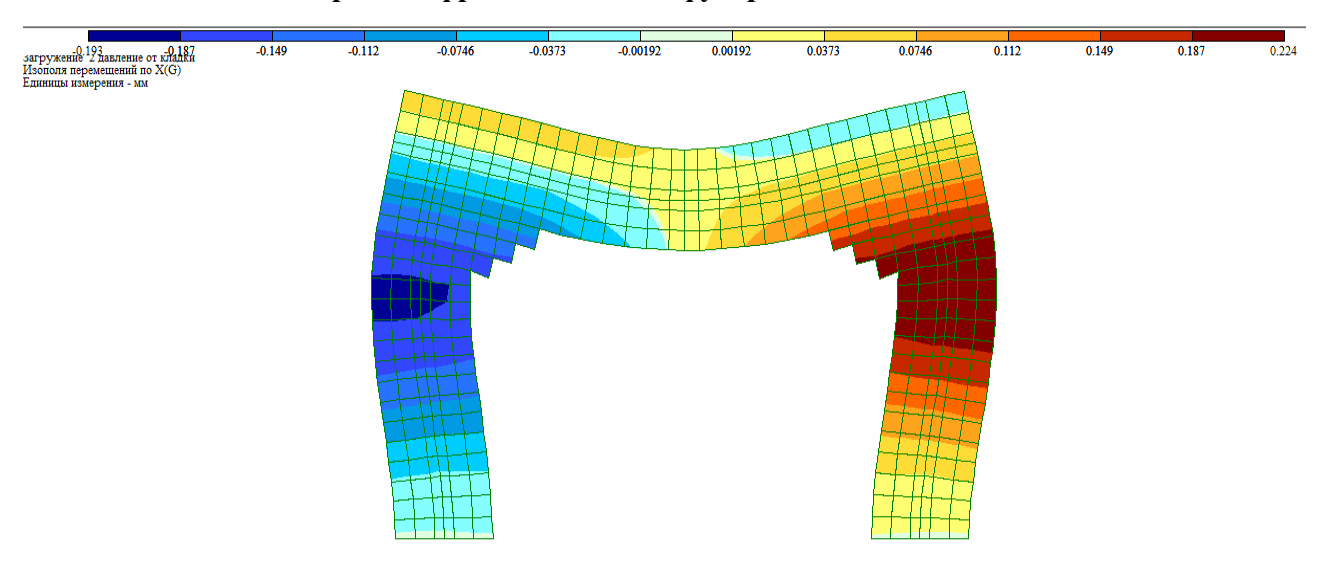


Рис. 9. Изополя перемещений по Z, мм, при приложении нагрузки

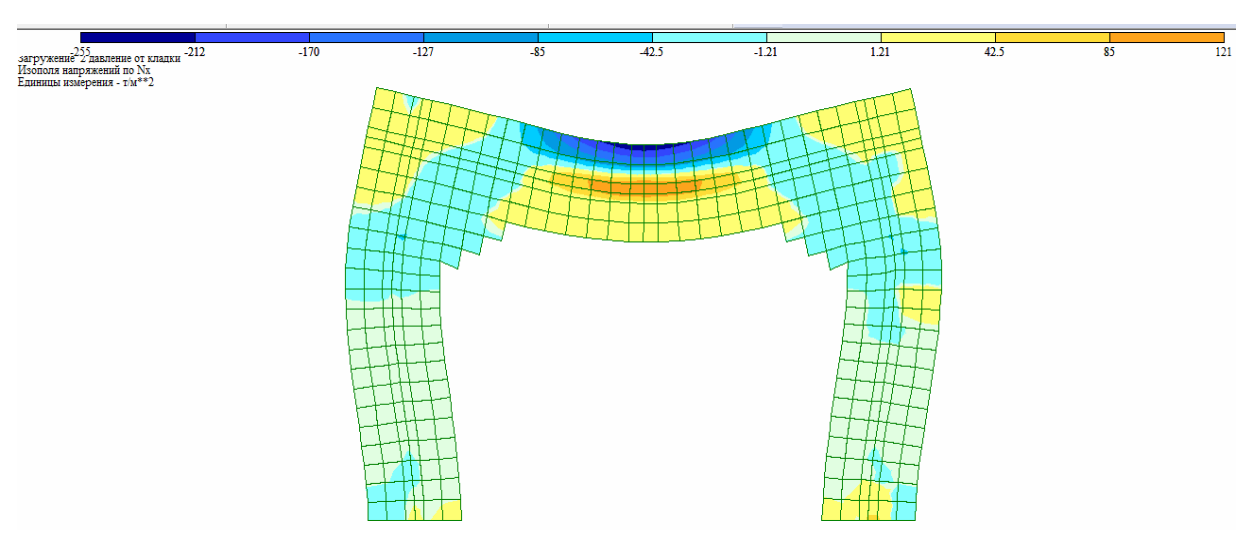


Рис. 10. Изополя напряжений по NX, т/м2, при приложении нагрузки

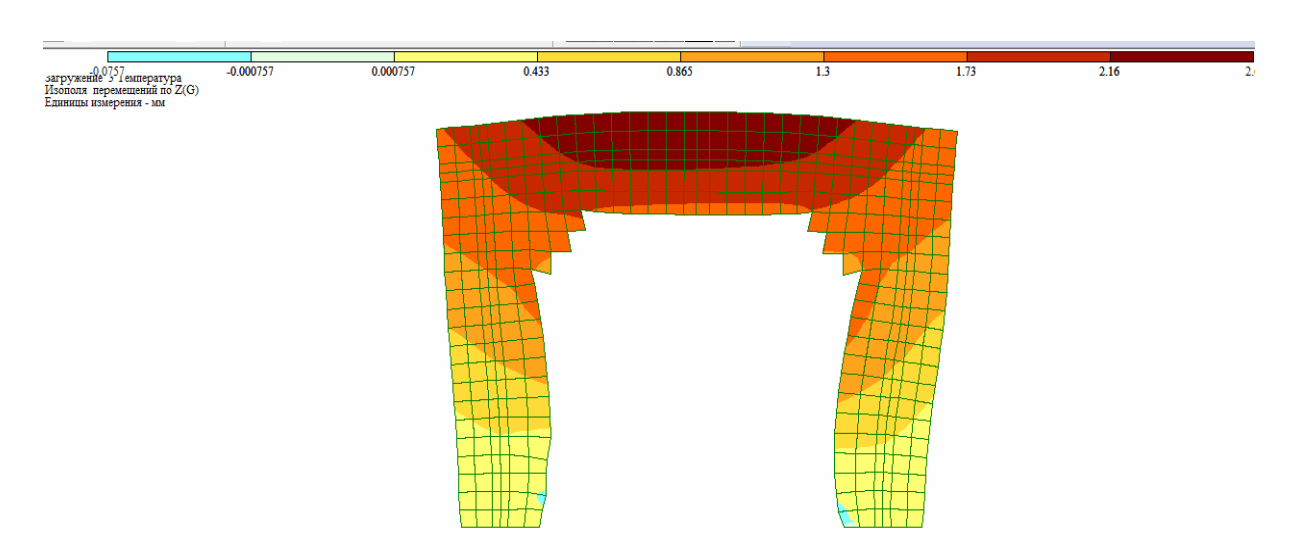


Рис. 11. Изополя перемещений по Z, мм, при температурном воздействии

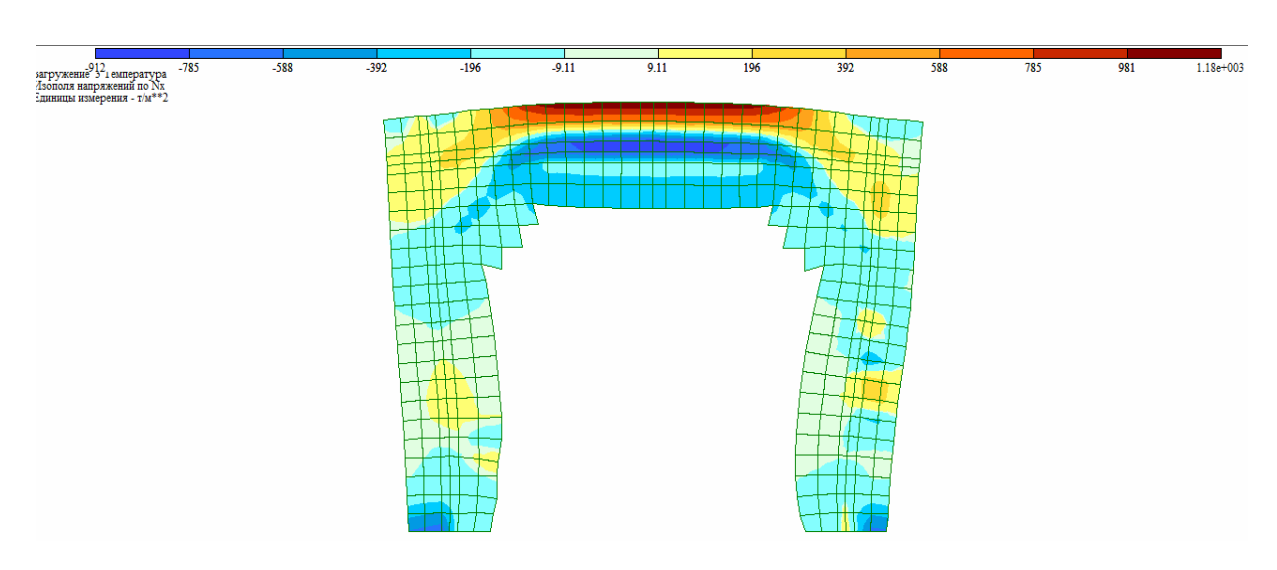


Рис. 12. Изополя напряжений по NX, т/м2, при температурном воздействии

Железобетонный фрагмент фундамента №2 без футеровки борова Нелинейный расчёт

Проведены нелинейные и линейные и расчёты фрагмента фундамента без футеровки. Расчёты выполнены по той же разработанной методике, но при замене футеровочной зоны на бетонную путём смены жёсткости -2*. Пластина Н25 на жёсткость 1*. Пластина Н25 и замены закона нелинейного деформирования материалов для футеровки законом для бетона.

При втором локальном загружении от собственного веса и веса кладки на 10 шаге возникли трещины в нижней зоне посредине ригеля (рис. 13). При этом максимальная общая нагрузка равнялась P=14,1 т.

На рис. 14 показана картина разрушения на 1 шаге локального загружения 3 от нагрузки и температурного воздействия. Одной десятой части воздействия температур оказалось достаточным для возникновения трех видов разрушения. По мере vвеличения интенсивности воздействия увеличивалось количество разрушенных элементов (рис. 15, 16).

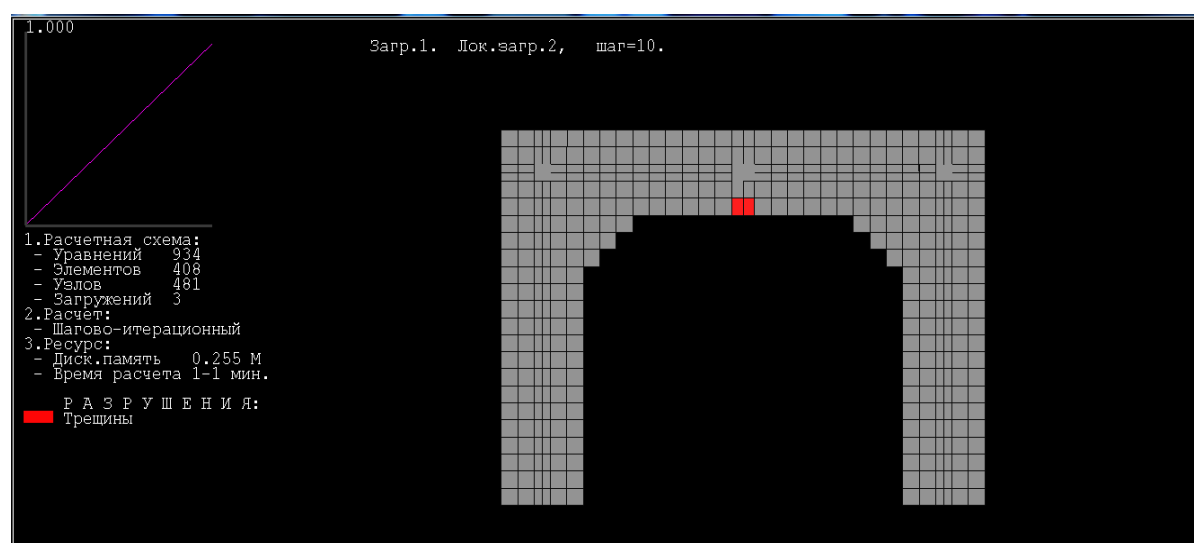


Рис. 13. Картина разрушения на 10 шаге локального загружения 2 от собственного веса и веса кладки

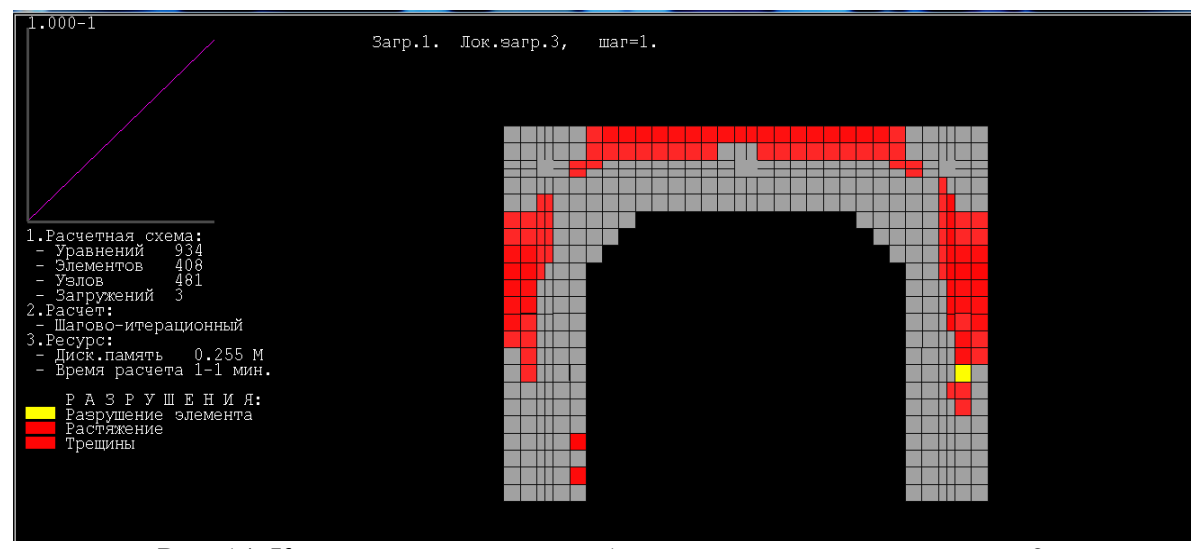


Рис. 14. Картина разрушения на 1 шаге локального загружения 3 от нагрузки и температурного воздействия

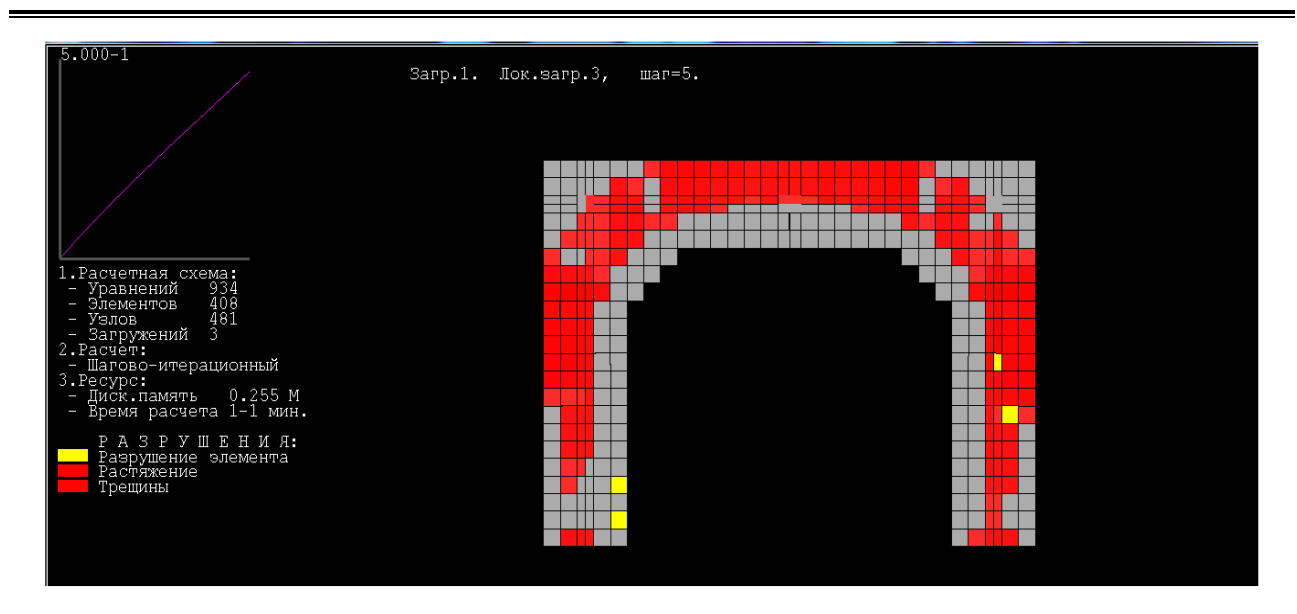


Рис. 15. Картина разрушения на 5 шаге локального загружения 3 от нагрузки и температурного воздействия

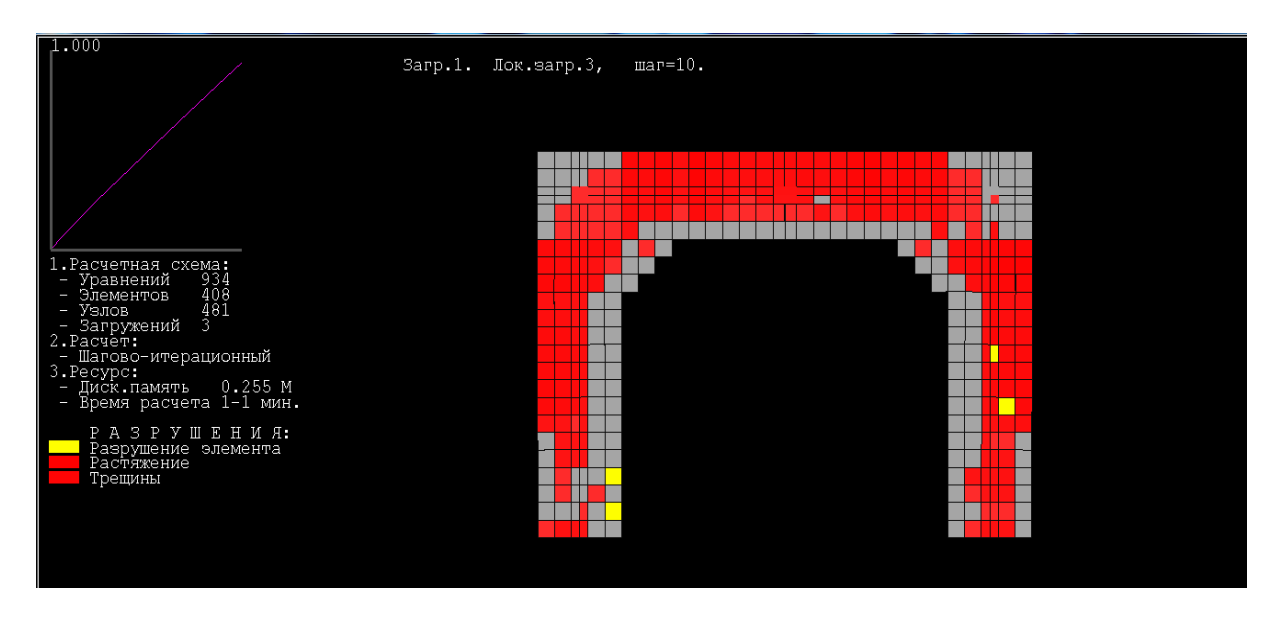


Рис. 16. Картина разрушения на 10 шаге локального загружения 3 от нагрузки и температурного воздействия

Линейный расчёт фрагмента №2 (без футеровки)

Расчёт показал, что при приложении нагрузки растягивающие напряжения возникли в нижней зоне ригеля, которые и

привели к образованию трещин (рис. 17). При нагреве происходит выгиб ригеля и возникают большие напряжения в верхних волокнах бетона ригеля (рис. 18).

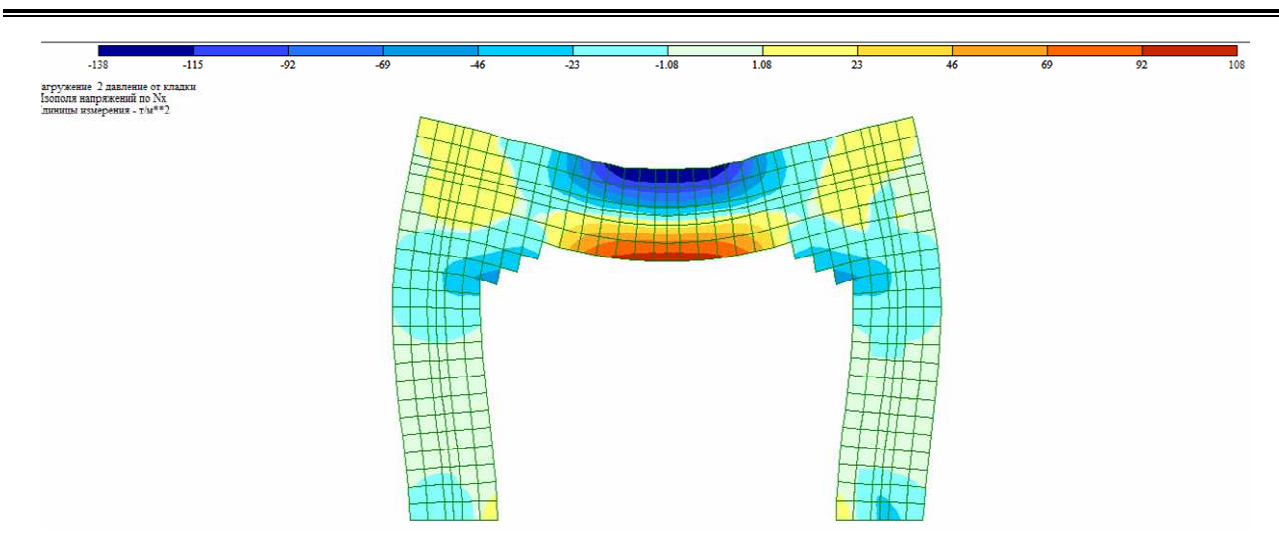


Рис. 17. Изополя напряжений по N_X , τ/m^2 , при приложении нагрузки

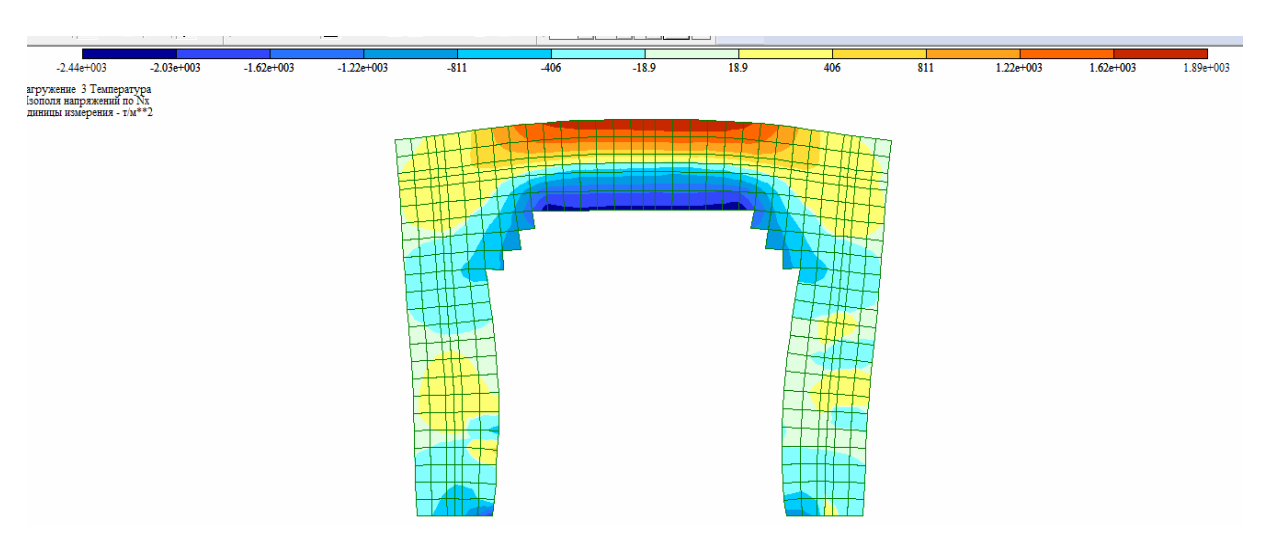


Рис. 18. Изополя напряжений по N_X , τ/m^2 , при температурном воздействии

Выводы из исследования и перспективы, дальнейшее развитие в данном направлении

1. Проведённые исследования подтвердили результаты натурных экспериментов, изложенных в работе [1]. Применение компьютерных технологий численного моделирования с использованием нелинейной теории железобетона особенности позволило выявить протекания процессов формирования напряжённо-деформированного состояния в конструкциях фундаментов коксовых батарей на всем протяжении приложения нагрузок и температурного воздействия. Подтверждена достоверность гипотезы о целесообразности конструктивных решений фундаментов из жаростойкого бетона без футеровки боровов.

2. Дальнейшее развитие предложенного подхода может быть использовано при расчётах различных железобетонных конструкций, работающих в условиях воздействия повышенных и высоких температур.

Список использованных источников

- 1. Фомин, С. Л. Экспериментальное исследование фрагментов монолитных железобетонных фундаментов коксовых батарей: [Текст] / С.Л. Фомин, А. М. Кравченко // 3б. наук. праць Укр. держ. ун-ту залізнич. трансп. Харків: УкрДУЗТ, 2016. Вип. 162. С. 82-94.
- 2. Установка для випробування залізобетонних виробів на прикладі фрагментів фундаментів коксових батарей [Текст]: пат. на корисну модель № 108834 Україна, МПК G01N 3/30 (2006.01) / Кравченко О. М., UA, Фомін С. Л., UA. власник: державне підприємство «Державний інститут по проектуванню підприємств коксохімічної промисловості» № и 201603449; заявл. 04.04.2016; опубл. 25.07.2016, Бюл. №14. 4 с.
- 3. 98/03564 Technical trends in the redesign and construction of coke oven batteries and units for dry quenching of coke. Fuel and Energy Abstracts [Text]. September 1998. Vol. 39, Issue 5. P. 336.
- 4. Input-output nonlinear model of a coke oven battery. Control Applications of Nonlinear Programming and Optimization [Text] / C. Bénard, S. Berekdar, C. Duhamel, M.-M. Rosset. 1989, 1990. P. 95-99.
- 5. CFD analysis of the thermal behaviour of heating walls in a coke oven battery. International Journal of Thermal Sciences [Text] / J. Smolka, L. Slupik, A. Fic, A. J. Nowak, L. Kosyrczyk. June 2015. Vol. 104. P. 186-193.
- 6. Slab heat loss calculation with non-uniform inside air temperature profiles. Energy Conversion and Management [Text] / S. Choi, M. Krarti. September 1996. Vol. 37, Is. 9. P. 1435-1444.
- 7. ДБН В.2.6-98:2009. Конструкції будинків і споруд. Бетонні та залізобетонні конструкції. Основні положення [Текст]. К.: Міністерство регіонального розвитку та будівництва України, 2011. 71 с.
- 8. ДСТУ Б В.2.6-156:2010. Бетонні та залізобетонні конструкції з важкого бетону. Правила проектування [Текст]. К.: Мінрегіонбуд України. 2011. 118 с.
- 9. ДСТУ-Н-П Б В.2.6-ХХ:20ХХ. Проектування залізобетонних конструкцій. Частина 1-2. Загальні положення. Розрахунок конструкцій на вогнестійкість [Електронний ресурс]: EN 1992-1-2:2004, MOD. Режим доступу: Minregion.info.
- 10. СНиП 2.03.04-84. Бетонные и железобетонные конструкции, предназначенные для работы в условиях повышенных и высоких температур [Текст]. M., 1985. 54 с.
- 11. СП 52-110-2009. Бетонные и железобетонные конструкции, подвергающиеся технологическим повышенным и высоким температурам [Текст] / ФГУП «НИЦ «Строительство». М., 2009. 166 с.
- 12. СП 27.13330.2011. Бетонные и железобетонные конструкции, предназначенные для работы в условиях воздействия повышенных и высоких температур [Текст]: актуализированная редакция СНиП 2.03.04-84. М., 2011. –115 с.
- 13. СТО 36554501-006-2006. Правила по обеспечению огнестойкости и огнесохранности железобетонных конструкций [Текст]. М.: ФГУП «НИЦ «Строительство», 2006.-81 с.
- 14. Фомин, С. Л. Температурные поля в конструкциях фундаментов коксовых батарей [Текст] / С. Л. Фомин, А. М. Кравченко. // Науковий вісник будівництва. Харків: ХНУБА: ХОТВ АБУ, 2013. Вип. 73. С. 436-444.
- 15. Городецкий, А. С. Расчет и проектирование конструкций высотных зданий из монолитного железобетона (проблемы, опыт, возможные решения и рекомендации,

компьютерные модели, информационные технологии) [Текст] / А. С. Городецкий, Л. Г. Батрак, Л. В. Лазнюк, С. В. Юсипенко. – К.: Изд-во «Факт», 2004. - 106 с.

16. Кравченко, А. М. Экспериментальная модель фрагмента коксовых батарей [Текст] // Науковий вісник будівництва. – Харків: ХНУБА: ХОТВ АБУ, 2016. – Вип. 1(83). – С. 134-138.

Фомін Станіслав Леонідович, д-р техн. наук, професор кафедри залізобетонних та кам'яних конструкцій, Харківський національний університет будівництва та архітектури. Тел.: (057) 700-01-63. E-mail: Sfomin@ukr.net.

Кравченко Олександр Михайлович здобувач наукового ступеня канд. техн. наук кафедри залізобетонних та кам'яних конструкцій, Харківський національний університет будівництва та архітектури, заступник директора ДП "ГИПРОКОКС". Тел.: (057) 719-22-96. E-mail: kravchenko@giprokoks.com.

Fomin Stanislav Leonidovich, Dr. Sc., professor of chair of concrete and masonry structures at Kharkiv National University of Construction and Architecture. Tel.: (057) 700-01-63. E-mail: Sfomin@ukr.net. Kravchenko Alexander Michailovich, applicant for scientific degree of candidate of technical sciences at chair of concrete and masonry structures in Kharkiv National University of Construction and Architecture. Deputy Director of SE "GIPROKOKS" Tel.: (057) 719-22-96. E-mail: kravchenko@giprokoks.com.

Стаття прийнята 11.10.2016 р.